Д. т. н. В. Антонович, д. т. н. П. Зданявичюс, д. т. н. Р. Мачюлайтис, д. т. н. Р. Стонис, д. т. н. Р. Борис (⋈), д. т. н. Ю. Малайшкене

Институт строительных материалов, Вильнюсский технический университет имени Гедиминаса, г. Вильнюс, Литва

УДК 666.362:66.094.7

ИССЛЕДОВАНИЯ ЩЕЛОЧНОЙ СТОЙКОСТИ ШАМОТНЫХ ЗАПОЛНИТЕЛЕЙ

Исследована щелочная стойкость шамотного заполнителя, используемого для изготовления сухих смесей жаростойкого бетона. Оценка щелочной стойкости шамота, количество глинозема в котором составляло примерно 26, 37 и 44 мас. %, проведена с помощью рентгенофазового анализа смесей шамота и карбоната калия. Показано, что при разном количестве глинозема шамот неустойчив к щелочной коррозии при 1100 и 1200 °C.

Ключевые слова: шамотный заполнитель, жаростойкий бетон, щелочная стойкость.

ВВЕДЕНИЕ

В последние годы биомасса (древесина, солома, энергетические растения и др.) является одним из основных видов топлива для зеленой энергетики. Однако при ее сжигании возникают различные проблемы с энергетическим оборудованием, в частности с долговечностью футеровки аппаратов. Замечено, что в некоторых случаях из-за щелочной коррозии долговечность обычных шамотных огнеупоров, которые относятся к группе алюмосиликатных материалов, в этом типе оборудования не достигает и двух лет [1, 2].

Щелочная коррозия алюмосиликатов обычно вызывается оксидами калия и/или натрия и их солями, которые образуются при сжигании биомассы. При этом образуются различные продукты коррозии (лейцит, кальсилит, полевой шпат и др.), объем которых превышает объем исходных минералов материала [3]. Установлено [4], что при проникновении К₂О в материал и достижении концентрации ~30 мас. %, увеличение объема алюмосиликтных минералов из-за образования продуктов коррозии в шамотном огнеупоре составило ~19 %, а в муллитовом ~22 %. При этом происходят так называемый щелочной взрыв и разрушение огнеупора [5]. Когда значительное количество щелочного расплава проникает в структуру огнеупора,

 \bowtie

P. Борис E-mail: renata.boris@vilniustech.lt образуются видоизмененные зоны материала. Возникающие напряжения между начальной и измененной зоной материала в итоге приводят к расслоению и разрушению материала [6]. Чаще всего такие случаи наблюдаются тогда, когда температура в тепловом аппарате достигает температуры плавления пепла (≥1200 °C), образующегося при горении биомассы.

При сравнении щелочной стойкости разных алюмосиликатных материалов отмечено [7, 8], что по мере увеличения содержания глинозема в его составе стойкость огнеупора к щелочной коррозии уменьшается, хотя огнестойкость материала и увеличивается.

В составе шамота преобладают кварц, кристобалит и муллит, а содержание стеклофазы может достигать 20 % [9]. Утверждается [10], что щелочные соединения, проникая в структуру алюмосиликатного материала, сначала реагируют со стеклофазой, а затем с муллитом [11]. Также отмечено, что ионы щелочных металлов легче всего проникают в матрицу материала, накапливаются в ней и только после этого вступают в реакцию с заполнителями. Протекание щелочной коррозии может быть разным из-за неодинаковых химического и минералогического составов шамота.

В жаростойких бетонах используют шамотные заполнители с содержанием Al_2O_3 от 25 до 44 мас. % [12]. Кроме Al_2O_3 и SiO_2 шамот также содержит небольшое количество оксидов, таких как Fe_2O_3 , TiO_2 , CaO, MgO, Na_2O и K_2O [13]. Представляется важным оценить щелочную стойкость заполнителя при подборе состава бетона, предназначенного к службе в энергетическом оборудовании, работающем на биомассе.

Цель данной работы — оценка стойкости разных типов шамотного заполнителя к щелочной коррозии при 1100 и 1200 °C.

МАТЕРИАЛЫ И МЕТОДЫ ИССЛЕДОВАНИЯ

Исследовали шамотный заполнитель фракции 0–5 мм марок БОС125, БОС135 и БОС145 (табл. 1, рис. 1) фирмы Таbex Оzmo, Польша. Также применяли добавку молотого кварцевого песка (SiO₂ 99,2 %), $S_{\text{уп}} = 490 \text{ m}^2/\text{kr}$.

Использовали химический реагент K_2CO_3 (99,0 %) компании Sigma-Aldrich, США, и химический эталон TiO_2 (99,8 %), анатаз компании Aldrich, США.

Для оценки щелочной стойкости шамотного заполнителя использовали метод таблетки, с помощью которого определяли минералогический состав образца после воздействия щелочного реагента (соли K_2CO_3). Составы композиций (смеси измельченного шамота и порошка реагента с добавкой кварцевого песка и без нее) представлены в табл. 2, при этом расчетное содержание K_2O во всех смесях составило 10 %.

Установлено, что добавка кварца препятствует проникновению щелочных соединений в материал или ограничивает их контакт [14, 15]. Поэтому часть смесей изготовлена с добавкой молотого кварцевого песка.

Образцы-таблетки диаметром 38 и высотой 5 мм изготавливали с помощью пресса с усилием 180 кH, затем их в течение 5, 10 и 15 ч обжигали при 1100 °С и в течение 5 и 15 ч при 1200 °С. После обжига образцы измельчали в лабораторной шаровой мельнице и к ним в качестве эталона побавляли TiO₂ (10 мас. %).

Для определения фазового состава исследуемых образцов использовали рентгеновский дифрактометр ДРОН-7 (Россия). Параметры испытания: напряжение 30 кВ, ток 12 мА, диапазон углов дифракции 20 от 4 до 60°, шаг перемещения детектора 0,02°, время измерения интенсивности пошаговое 0,5 с, $Cu K_{\alpha}$ -излучение, $\lambda = 0.1541837$ нм. Анализ рентгенограмм проводили с использованием базы данных PDF-2 (2003 г.). Количественные изменения минералов оценивали по высоте основного дифракционного пика минерала: кальсилита (KAlSiO₄; d = 0.312, 0.258 и 0.400 нм), лейцита (KAlSi₂O₆; d = 0.327, 0.344 и 0.538 нм), корунда (Al_2O_3 ; d = 0.255, 0.160 и 0.209 нм), муллита ($Al_6Si_2O_{13}$; d = 0.339, 0.343 и 0.221 нм), тридимита (SiO_2 ; d = 0.408, 0.428 и 0.380 нм), кварца (SiO₂; d = 0.334, 0.425 и 0.182 нм. Для точности вычисления сумма интенсивности пиков основных минералов была приравнена к 100 %, после чего интенсивность пиков каждого минерала была пересчитана.

Таблица 1. **Характеристика шамотного заполни**теля

Характеристика	Марка заполнителя		
ларактеристика	БОС125	БОС135	БОС145
Химический состав, мас. %:			
Al_2O_3	26,31	36,60	44,30
SiO_2	59,18	53,70	49,50
CaO	2,05	3,05	0,60
Fe_2O_3	2,90	3,33	2,07
MgO	0,88	0,74	0,92
TiO_2	0,88	1,30	1,35
K_2O	0,70	0,97	0,73
Na_2O	0,23	0,15	0,31
прочие	6,87	0,16	0,22
Насыпная плотность,	1350	1430	1510
кг/м ³			
Огнеупорность, °С	1690	1710	1750

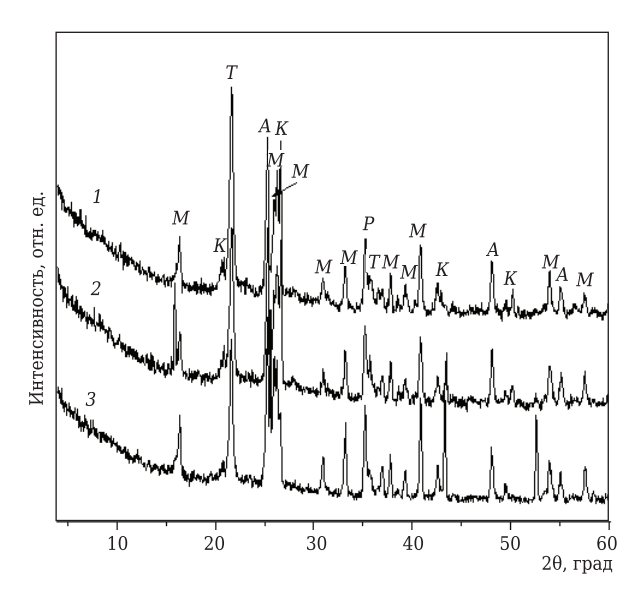


Рис. 1. Рентгенограмма шамотного заполнителя: 1 - БОС125; 2 - БОС135; 3 - БОС145; M - муллит; K - кварц; T - тридимит; P - корунд; A - аната3 (добавленный в исследуемый образец как химический эталон)

Таблица 2. Составы исследуемых композиций

Мар		Шамот соответствующей марки, г	К₂СО₃, г	Молотый кварцевый песок, г
C125 C135 C145	}	15	2,58	_
CK12 CK13 CK14	5 }	15	2,58	0,75

РЕЗУЛЬТАТЫ И ИХ ОБСУЖДЕНИЕ

Теоретически возможное протекание процесса щелочной коррозии алюмосиликатного материала можно оценить из трехкомпонентной системы $K_2O-Al_2O_3-SiO_2$ (рис. 2). С помощью данной диаграммы [16–18] оценивали составы шамота БОС125, БОС135 и БОС145 (см. табл. 1) при условии, что материал состоит только из K_2O , Al_2O_3

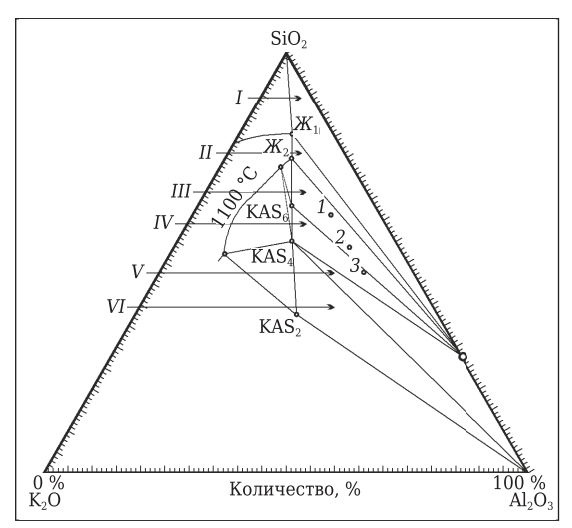


Рис. 2. Фазовая диаграмма состояния трехкомпонентной системы $K_2O-Al_2O_3-SiO_2$ при 1100 °C: 1 — C125; 2 — C135; 3 — C145

и SiO_2 . Когда такой материал, например, при $1100\,^{\circ}$ С подвергается воздействию соли K_2CO_3 , образуются продукты реакции (включая прирост количества K_2O), состав которых можно определить в любой точке диаграммы.

В работе [16] показано, что при низких концентрациях K_2O кремнезем (SiO₂), муллит $(3Al_2O_3\cdot 2SiO_2)$ и жидкая фаза \mathcal{M}_1 находятся в равновесии в точках, расположенных внутри малого треугольника I (см. рис. 2). При увеличении количества К₂О в системе количество образующейся жидкой фазы непрерывно увеличивается, и в отмеченном на диаграмме треугольнике II существуют муллит и жидкая фаза W_1 - W_2 . Дальнейшее увеличение концентрации К2О приводит к последовательным изменениям химического и фазового составов в отдельных зонах: в треугольнике III находятся жидкая фаза \mathcal{K}_2 , муллит и полевой шпат (KAlSi₃O₈), в IV — полевой шпат, муллит и лейцит (KAlSi₂O₆). Лейцит, муллит и корунд существуют в равновесии в треугольнике V, а лейцит, кальсилит (KAlSiO₄) и корунд — в зоне малого треугольника VI.

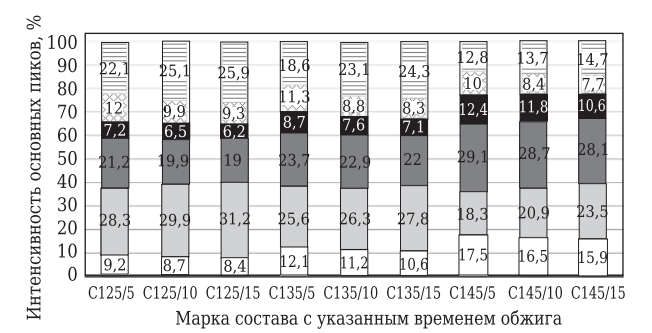


Рис. 3. Интенсивность основных пиков образовавшихся фаз по данным рентгенофазового анализа смеси шамотного заполнителя с карбонатом калия после 5, 10 и 15 ч обжига при 1100 °C:

— кальсилит;
— лейцит;
— муллит;
— кварц

Отмеченные на диаграмме точки 1, 2 и 3 (индексация по табл. 2) соответствуют составу смеси исследуемого шамота с 10 мас. % К₂О. При 1100 °C точки 1 и 2 расположены внутри треугольника III. В этом случае в материале данного состава (с $Al_2O < 37$ %) образуется продукт коррозии — полевой шпат. В составе шамота с наибольшим содержанием глинозема (~44 %), отмеченном на диаграмме точкой 3 образуется полевой шпат и лейцит (треугольник IV). Следует отметить утверждение [16, 17, 19], что в рассматриваемой системе полевой шпат, инконгруэнтная точка плавления которого составляет 1150±20 °C, очень трудно кристаллизируется при температуре ниже температуры плавления на 50-75 °C (то есть при ~1100 °C). При повышении температуры до 1200 °C происходит некоторое смещение зон треугольников III-IV с увеличением количества жидкой фазы.

Ход щелочной коррозии в реальных композициях шамота из-за наличия в нем стеклофазы и примесей несколько отличается от результатов, полученных с помощью анализа диаграммы состояния трехкомпонентной системы $K_2O-Al_2O_3-SiO_2$.

Вне зависимости от марки шамотного заполнителя в смеси с карбонатом калия после обжига при 1100 °С в течение 5 ч идентифицированными с помощью рентгеноструктурного анализа продуктами коррозии являлись кальсилит и лейцит. Отмечено [17], что кальсилит образуется в присутствии Na_2O в интервале 650-1200 °С. Примеси этого оксида присутствуют и в исследуемых сортах шамота (см. табл. 1).

В процентном выражении интенсивности идентифицированных пиков показаны на рис. 3. Установлено, что в зависимости от марки шамотных заполнителей интенсивности основных пиков продуктов коррозии разнятся. Чем выше содержание глинозема в заполнителе (в интервале от ~26 до ~44 %, см. табл. 1), тем выше интенсивность основного пика кальсилита (большее его процентное содержание), а лейцита ниже (меньшее процентное содержание, составы С125, С135 и С145, см. рис. 4). При увеличении продолжительности обжига образцов до 10 и 15 ч при 1100 °C замечена тенденция уменьшения интенсивности основного пика кальсилита, который является менее стабильным продуктом коррозии, и увеличения лейцита — более термодинамически стабильного минерала (см. рис. 4, составы С125/10, С135/10, С145/10 и С125/15, С135/15 и С145/15).

При анализе влияния продолжительности обжига на интенсивность основных пиков исходных минералов шамота в смеси с карбонатом калия можно также отметить, что содержание муллита, тридимита и корунда имеет тенденцию к снижению, так как эти минералы непосредственно участвуют в образовании про-

дуктов коррозии. Так, например, в работе [20] указано, что образование лейцита происходит при достаточно низких температурах (в интервале 760–930 °С), когда кристобалит (в нашем случае тридимит) растворяется в расплаве стеклофазы.

Как показывает анализ диаграммы состояния трехкомпонентной системы $K_2O-Al_2O_3-SiO_2$, после обжига образцов при повышенной температуре (1200 °C) количество жидкой фазы в системе увеличивается [17]. Этим можно объяснить и тенденции к изменению интенсивности пиков продуктов коррозии в зависимости от сорта шамота. Если, согласно результатам исследований, проведенных при 1100 °C, интенсивность основных пиков кальсилита увеличением количества глинозема в материале при 1200 °C эта тенденция становится противоположной — интенсивность кальсилита уменьшается, а лейцита увеличивается (см. рис. 4).

Исходя из того, что объем новообразований при формировании лейцита больше, чем при образовании кальсилита (соответственное увеличение объема на ~10 и ~6 %) [20], можно прогнозировать разную степень разрушения материала при воздействии щелочных соединений в зависимости от температуры обжига и сорта шамота.

Авторы [15] указывают на положительное влияние свободного и реактивного SiO₂, способствующего увеличению щелочной стойкости алюмосиликатного материала. Цель следующей серии испытаний — установить, влияет ли дополнительное количество добавки кварца на количество кальсилита и лейцита, поскольку уменьшение их количества означало бы замедление процесса коррозии.

Полученные результаты показали (рис. 5), что тенденции, наблюдаемые ранее (см. рис. 3), сохранились. Добавление молотого кварцевого песка к смеси измельченного шамотного заполнителя с карбонатом калия увеличивает абсолютное количество кварца, который участвует в образовании продуктов коррозии, но значительных изменений в образовании продуктов коррозии не наблюдается.

Во всех случаях (в том числе с добавкой молотого кварцевого песка) композиции с шамотными заполнителями довольно легко и быстро поддаются процессу коррозии при взаимодействии с карбонатами калия как при 1100 °С, так и при 1200 °С. Это означает, что для защиты алюмосиликатного материала (в том числе и бетона) от щелочной коррозии необходимо остановить или затруднить проникновение щелочных соединений в его структуру с помощью импрегнирования или применения различных добавок, способствующих уменьшению пористости материала.

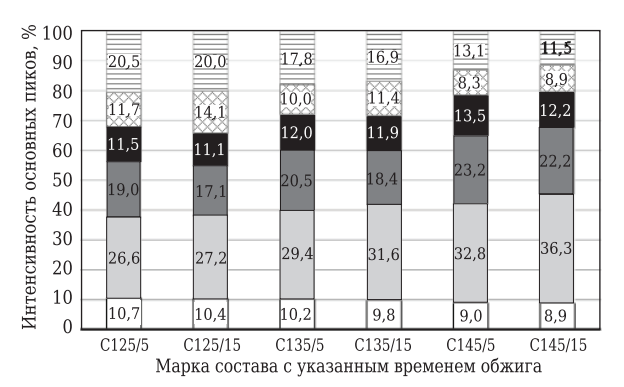


Рис. 4. Интенсивность основных пиков образовавшихся фаз по данным рентгенофазового анализа смеси шамотного заполнителя с карбонатом калия после 5 и 15 ч обжига при 1200 °C: ☐ — кальсилит; ☐ — лейцит; ☐ — муллит; ☐ — корунд; — тридимит; ☐ — кварц

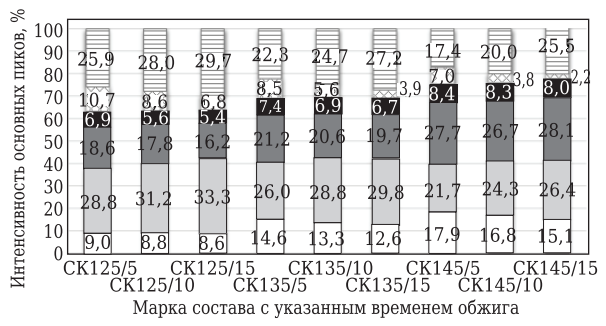


Рис. 5. Интенсивность основных пиков образовавшихся фаз по данным рентгенофазового анализа смеси шамотного заполнителя с молотым кварцевым песком и карбонатом калия после 5, 10 и 15 ч обжига при 1100 °C:

□ — кальсилит; □ — лейцит; □ — муллит; ■ — корунд;

□ — тридимит; □ — кварц

ЗАКЛЮЧЕНИЕ

Показано, что вне зависимости от химического состава шамотный заполнитель неустойчив к щелочной коррозии при 1100 и 1200 °С. Установлено, что после воздействия данных температур в течение 5 ч в смесях шамота образовались продукты щелочной коррозии — кальсилит (KAlSiO₄) и лейцит (KAlSi₂O₆). Установлено, что при 1100 °С с увеличением количества глинозема в материале интенсивность основных пиков кальсилита увеличивается, а лейцита уменьшается. При воздействии температуры 1200 °С тенденция становится противоположной — в составах с повышенным содержанием глинозема интенсивность основного пика лейцита увеличивается.

* * *

Работа выполнена при поддержке Литовского совета по науке (LMTLT), в рамках договора № S-MIP-19-41.

51

Библиографический список

- Jacob-Lopes, E. Frontiers in bioenergy and biofuels / E. Jacob-Lopes, L.-Q. Zepka. — Printed in Croatia, 2017. — 511 p.
- 2. Antonovič, V. Refractory materials for biofuel boilers: Chapter 22 / V. Antonovič, J. Szczerba, J. Kerienė, R. Stonys, R. Boris // Frontiers in bioenergy and biofuels. Rijeka (Croatia). 2017. P. 443–464.
- 3. **Poirier**, **J.** Corrosion of Refractories: The Fundamentals / J. Poirier, M. Rigaud // FIRE Compendium Series 2A. 2017. P. 454.
- 4. **Schlegel, E.** Evaluation of phase diagrams with regard to the alkali corrosion of refractories / E. Schlegel // Silikaty. 2008. P. 1–5.
- 5. **Роучка, Г.** Огнеупорные материалы. Структура, свойства, испытания: справочник / Γ . Роучка, X. Вумнау; пер. с нем. Й. Алленштейн [и др.]. М.: Интермет Инжиниринг, 2010. 392 с.
- 6. *Nishikawa, A.* Technology of monolithic refractories / *A. Nishikawa.* Japan : Japan by Toppan Printing Company, Ltd. , 1984. 598 p.
- 7. **Butzbach**, **K.** Hasle have a long tradition for producing highly alkali resistant refractory castables / **K.** Butzbach // Hasle Refractories. 2019. https://hasle-refractories. com/?s=alkali+resistant+refractory.
- 8. **Boris**, **R**. The investigation on the structure and properties of medium cement refractory castable with clinker aggregate / R. Boris // Doctoral dissertation. Vilnius: Technika, 2016. P. 104.
- 9. *Didier-Werke, A.-G.* Feuerfeste Werkstoffe und ihre Merktale/A.-G.Didier-Werke//Wiesbaden.—1989.—P.103.
- 10. *Luis, A.-M.-S.* Potassium vapor attack in refractories of the alumina-silica system / *A.-M.-S. Luis, L. Elson, A.-V. Jose* // J. Am. Ceram. Soc. 1990. Vol. 73, N = 5. P. 1413–1416. doi/abs/10.1111/j.1151-2916.1990.tb05214.x.
- 11. *Carlborg, M.* Reactions between ash and ceramic lining in entrained flow gasification of wood-exposure studies and thermodynamic considerations / *M. Carlborg, D. Boström, M. Öhman, R. Backman //* 21st European Biomass Conference and Exhibition.—2013.—P.446–449.
- $12. \textit{Sadik, C.} \ \text{Recent advances in silica-alumina refractory}: a \ \text{review} \ / \ C. \ \textit{Sadik, I.-E. El Amrani, A. Albizane} \ / \ \text{Journal} \ \text{of Asian Ceramic Societies.} \ -2014. \ -Vol. \ 2. \ -P. \ 83-96. \ \text{doi.org}/10.1016/j.jascer.2014.03.001.$

- 13. Deutsche Gesellschaft Feuerfest- und Schornsteinbau. Refractory Engineering: materials, design, construction. 3st completely revised edition. Published by Vulkan Verlag. 2016. P. 670.
- 14. **Boris, R.** Study of alkali resistance of refractory materials used in boilers operating on wood fuel / *R. Boris, V. Antonovič, J. Kerienė* [et al.] // Refract. Ind. Ceram. 2017. Vol. 57, № 6. P. 651–654. doi 10.1007/s11148-017-0039-6.
- **Борис, Р.** Исследование щелочной стойкости огнеупорных материалов, используемых в котлах, работающих на древесном топливе / Р. Борис, В. Антонович, Я. Керене [и др.] // Новые огнеупоры. 2016. № 12. С. 42–45.
- 15. *Alibasic, E.* Design of castables and their relevance to alkali resistance applications / *E. Alibasic, J. Oldin, S. Kannabiran, A. Yiakoumi //* 57th International Colloquium on Refractories, Eurocongress, Aachen. 2014. P. 67–69.
- 16. **Scudeller, L.-A.-M.** Potassium vapor attack in refractories of the alumina-silica system / *L.-A.-M.* Scudeller, E. Longo, J.-A. Varela // J. Am. Ceram. Soc. 1990. Vol. 36. P. 733–740.
- 17. *Jesse, J.* Phase diagrams in advanced ceramics. The use of phase diagrams to predict alkali oxide corrosion of ceramics / *J. Jesse, Jr. Brown* // Phase Diagrams in Advanced Ceramics. 1995. P. 43–83.
- 18. *Kim, Dong-Geun.* Thermodynamic optimization of the $K_2O-Al_2O_3-SiO_2$ system / *D.-G. Kim, B. Konar, I.-H. Jung* // Ceram. Int. 2018. Vol. 44. P. 16712–16724. doi.org/10.1016/j.ceramint.2018.06.099.
- 19. **Madej**, **D**. Fundamental investigations on the high temperature corrosion of $ZrSiO_4$ -containing and alusite refractories in cement kiln preheater / D. Madej, J. Szczerba // J. Eur. Ceram. Soc. 2016. Vol. 36. P. 875–883. doi.org/10.1016/j.jeurceramsoc.2015.10.049.
- 20. **Geith, M.** Special impregnation of alumina bricks to increase the alkali resistance / M. Geith, C. Majcenovic, A. Wiry // RHI Refractories. 2001. Vol. 54, N 11. P. 638–645. \blacksquare

Получено 21.09.21 © В. Антонович, П. Зданявичюс, Р. Мачюлайтис, Р. Стонис, Р. Борис, Ю. Малайшкене, 2021 г.

НАУЧНО-ТЕХНИЧЕСКАЯ ИНФОРМАЦИЯ

